

# Math-Net.Ru

Общероссийский математический портал

Е. И. Понькин, Построение автомодельного решения системы уравнений газовой динамики, описывающей истечение политропного газа в вакуум с косо́й стенки в несогласованном случае, *Вестн. Сам. гос. техн. ун-та. Сер. Физ.-мат. науки*, 2023, номер 2, 336–356

DOI: 10.14498/vsgtu1999

Использование Общероссийского математического портала Math-Net.Ru подразумевает, что вы прочитали и согласны с пользовательским соглашением

<http://www.mathnet.ru/rus/agreement>

Параметры загрузки:

IP: 109.124.202.119

26 сентября 2023 г., 12:09:22





УДК 517.958:531.332

## Построение автомодельного решения системы уравнений газовой динамики, описывающей истечение политропного газа в вакуум с косо́й стенки в несогласованном случае

*Е. И. Понькин*Снежинский физико-технический институт НИЯУ МИФИ,  
Россия, 456776, Снежинск, ул. Комсомольская, 8.

### Аннотация

Рассматривается начально-краевая задача для системы уравнений газовой динамики в постановке характеристической задачи Коши стандартного вида, описывающая при  $t > 0$  разлет политропного газа в вакуум на косо́й стенке в пространстве физических автомодельных переменных  $\xi = x/t$ ,  $\eta = y/t$ , а при  $t < 0$  — сильное сжатие газа в призматическом объеме.

Решение начально-краевой задачи строится в виде рядов функций  $c(\xi, \vartheta)$ ,  $u(\xi, \vartheta)$  и  $v(\xi, \vartheta)$  по степеням  $\vartheta$ , где  $\vartheta$  — известная функция независимых переменных. Нахождение неизвестных коэффициентов  $c_1(\xi)$ ,  $u_1(\xi)$  и  $v_1(\xi)$  рядов функций  $c(\xi, \vartheta)$ ,  $u(\xi, \vartheta)$  и  $v(\xi, \vartheta)$  сводится к решению транспортного уравнения для коэффициента  $c_1(\xi)$ .


В настоящей работе построено аналитическое решение транспортного уравнения для коэффициента  $c_1(\xi)$  решения системы уравнений газовой динамики, описывающего изэнтропическое истечение политропного газа с косо́й стенки, в общем несогласованном случае, когда  $\operatorname{tg}^2 \alpha \neq (\gamma + 1)/(3 - \gamma)$ . Когда  $\gamma = 5/3$  — случай водорода, для коэффициента  $c_1(\xi)$  впервые построено аналитическое решение транспортного уравнения в явном виде.

Полученное решение применено к описанию сжатия специального призматического объема, представляющего собой в сечении правильный треугольник. Указана особенность полученного решения  $c_1(\xi)$ : значение  $c_1 \rightarrow \infty$  при  $\xi \rightarrow \xi_*$ , где значение  $\xi_*$  задается уравнением  $c_0(\xi_*) = 3.9564$ . Сделан вывод, что на звуковой характеристике, через которую стыкуются течения вида центрированная и двойная волна, в точке с координатами  $\xi = \xi_*$  и  $\vartheta = 0$  наступает градиентная катастрофа, что приводит

Математическое моделирование, численные методы и комплексы программ  
Научная статья

© Коллектив авторов, 2023

© СамГТУ, 2023 (составление, дизайн, макет)

 Контент публикуется на условиях лицензии [Creative Commons Attribution 4.0 International](https://creativecommons.org/licenses/by/4.0/deed.ru) (<https://creativecommons.org/licenses/by/4.0/deed.ru>)

### Образец для цитирования

Понькин Е. И. Построение автомодельного решения системы уравнений газовой динамики, описывающей истечение политропного газа в вакуум с косо́й стенки в несогласованном случае // *Вестн. Сам. гос. техн. ун-та. Сер. Физ.-мат. науки*, 2023. Т. 27, № 2. С. 336–356. EDN: EYOBZI. DOI: 10.14498/vsgtu1999.

### Сведения об авторе

*Евгений Игоревич Понькин*  <https://orcid.org/0000-0002-7848-3167>аспирант; e-mail: [epnk@rambler.ru](mailto:epnk@rambler.ru)

к возникновению в безударном течении сильного разрыва и формированию ударной волны.

**Ключевые слова:** характеристическая задача Коши стандартного вида, аналог теоремы Ковалевской, косая стенка, транспортное уравнение.

Получение: 9 февраля 2023 г. / Исправление: 18 мая 2023 г. /

Принятие: 25 мая 2023 г. / Публикация онлайн: 26 июня 2023 г.

**Введение.** Рассмотрим политропный газ, покоящийся в клиновидной области  $VOF$  плоскости  $xOy$  (выделено серым цветом и отмечено цифрой 0 на рис. 1, а), образованной двумя непроницаемыми стенками  $OB$  и  $OF$ . Полубесконечная вертикальная стенка  $OB$  задается уравнением  $x = 0$  (при  $y \geq 0$ ). Бесконечная косая стенка  $OF$  задается уравнением  $y = x \operatorname{tg} \alpha$ . Линия  $BF$  не является непроницаемой стенкой, поэтому на ней никакие условия на газ не накладываются. Часть плоскости  $xOy$  слева от вертикальной стенки  $OB$  и выше косой стенки  $OF$  — вакуум (отмечено цифрой 3 на рис. 1, а).

Газодинамические параметры в покоящемся газе (значения функций  $c(t, x, y)$ ,  $u(t, x, y)$  и  $v(t, x, y)$ ) следующие:

$$c = 1, \quad u = 0, \quad v = 0.$$

В момент времени  $t = 0$  вертикальная стенка  $OB$  убирается, после чего начинается истечение газа в вакуум вдоль косой стенки  $OF$ .

На рис. 1, б приведена конфигурация течения газа в момент времени  $t > 0$ . В области  $ABF$  находится покоящийся однородный газ, который отделен звуковой характеристикой  $AB$  от области центрированной волны Римана —  $ABCD$ , помеченной на рис. 1, б цифрой 1. Звуковая характеристика  $AB$  является вертикальной прямой, уравнение которой в координатах  $t, x, y$  имеет следующий вид [1, 2]:

$$x = t.$$

Звуковая характеристика  $AB$  двигается по покоящемуся газу слева направо со скоростью, равной 1. Центрированная волна примыкает к вакууму через свободную границу, являющуюся вертикальной прямой  $CD$ . Движение границы  $CD$  в вакуум описывается по закону [1, 2]

$$x = -\frac{2t}{\gamma - 1}.$$

Скорость движения границы  $CD$  равна  $-2/(\gamma - 1)$ . Значения газодинамических параметров течения в области центрированной волны задаются следующими формулами [1, 2]:

$$c = \frac{\gamma - 1}{\gamma + 1} \frac{x}{t} + \frac{2}{\gamma + 1}, \quad u = \frac{2}{(\gamma + 1)} \frac{x}{t} - \frac{2}{(\gamma + 1)}, \quad v = 0.$$

В области  $ADE$ , помеченной на рис. 1, б цифрой 2, находится двойная волна — искомое двумерное течение. Это течение отделено от центрированной волны звуковой характеристикой  $C^+$  — линия  $AD$ . Область двойной волны примыкает к вакууму через свободную границу — линия  $DE$ . Стенка  $AE$

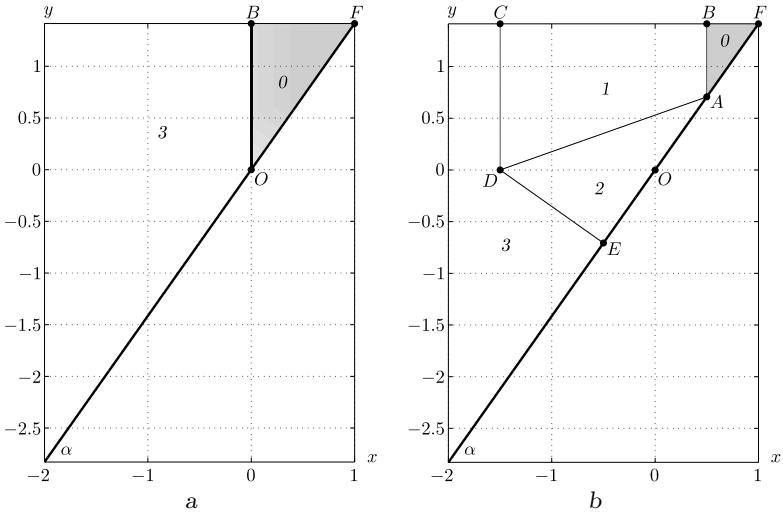


Рис. 1. Начальная конфигурация в момент  $t = 0$  (a) и конфигурация потока в момент  $t > 0$  (b): 0 — область, в которой находится покоящийся газ; 1 — область течения в виде центрированной волны; 2 — область течения в виде двойной волны; 3 — область вакуума [Figure 1. (a) Initial configuration ( $t = 0$ ); (b) the flow configuration at  $t > 0$ : 0 — the quiescent gas region; 1 — the flow region in the form of a centered wave; 2 — the flow region in the form of a double wave; 3 — the vacuum region]

является непроницаемой, поэтому на этой стенке выполняется условие непротекания:

$$v|_{AE} = u \operatorname{tg} \alpha|_{AE}.$$

Закон движения газа в области двойной волны неизвестен, требуется найти параметры течения газа в области двойной волны как решение следующей начально-краевой задачи:

$$\begin{cases} c_t + uc_x + vc_y + \varkappa c(u_x + v_y) = 0, \\ u_t + uu_x + vv_y + \frac{c}{\varkappa} c_x = 0, \\ v_t + uv_x + vv_y + \frac{c}{\varkappa} c_y = 0, \\ c|_{C^+} = c_0, \quad u|_{C^+} = u_0, \quad v|_{C^+} = 0, \\ v|_{y=x \operatorname{tg} \alpha} = u \operatorname{tg} \alpha|_{y=x \operatorname{tg} \alpha}, \end{cases} \quad (1)$$

где  $c$  — скорость звука в газе, отн.ед.;  $u$  — горизонтальная компонента скорости газа, отн.ед.;  $v$  — вертикальная компонента скорости газа, отн.ед.;  $\varkappa = (\gamma - 1)/2$ ;  $\gamma$  — показатель политропы газа, отн.ед. Значения  $c_0$  и  $u_0$  — параметры газа на характеристике  $C^+$ :

$$c_0 = \frac{\varkappa}{\varkappa + 1} \frac{x}{t} + \frac{1}{\varkappa + 1}, \quad u_0 = \frac{1}{\varkappa + 1} \frac{x}{t} - \frac{1}{\varkappa + 1},$$

соответствующие параметрам газа в плоском течении.

Традиционно для этой и аналогичных задач с целью уменьшения объема выкладок искомое двумерное течение строится как решение уравнения для

функции  $\Phi(t, x_1, x_2)$  — потенциала скорости газа в двумерном случае [1, 2]. То есть, чтобы описать разлет газа в вакуум, в качестве независимых переменных выбираются

$$t, \quad u_1 = \Phi_{x_1}, \quad u_2 = \Phi_{x_2} \quad (2)$$

и в результате замены (2) первые три уравнения системы (1) сводятся к одному уравнению:

$$\Phi_{tt} + 2 \sum_{i=1}^2 \left[ \Phi_{x_i} \Phi_{x_i t} + \frac{1}{2} \sum_{k=1}^2 (1 - \delta_{ik}) \Phi_{x_i} \Phi_{x_k} \Phi_{x_i x_k} - \frac{1}{2} (c^2 - \Phi_{x_i}^2) \Phi_{x_i x_i} \right] = 0, \quad (3)$$

где

$$c^2 = (\gamma - 1) \left[ M - \Phi_t - \frac{1}{2} (\Phi_{x_1}^2 + \Phi_{x_2}^2) \right], \quad M = \text{const.}$$

Далее с помощью преобразования Лежандра

$$\Psi(t, u_1, u_2) = x_1 u_1 + x_2 u_2 - \Phi(t, x_1, x_2) + Mt \quad (4)$$

делается переход к новой неизвестной функции  $\Psi(t, u_1, u_2)$ . Уравнение для  $\Psi(t, u_1, u_2)$  строится из (3) с учетом (4) и введенных обозначений  $u = u_1$ ,  $v = u_2$ :

$$\Psi_{tt} (\Psi_{uu} \Psi_{vv} - \Psi_{uv}^2) + [c^2 - (\Psi_{ut} - u)^2] \Psi_{vv} + 2(\Psi_{ut} - u)(\Psi_{vt} - v) \Psi_{uv} + [c^2 - (\Psi_{vt} - v)^2] \Psi_{uu} = 0, \quad (5)$$

где  $c^2 = 2\kappa(\Psi_t - (u^2 + v^2)/2)$ .

Начальное и граничное условия задачи (1), записанные для функции  $\Psi(t, u, v)$ , имеют вид

$$\Psi(t, u, 0) = t \left\{ \frac{u^2}{2} + \frac{\kappa}{2} \left[ c_0 + \frac{u}{\kappa} \right]^2 \right\} \quad (6)$$

и

$$\Psi_v(t, u, u \operatorname{tg} \alpha) = \Psi_u(t, u, u \operatorname{tg} \alpha) \operatorname{tg} \alpha, \quad (7)$$

где  $c_0 = \text{const} > 0$ .

Решение задачи (5)–(7) строится в пространстве годографа  $u, v$  в виде ряда по степеням  $v$ . Для нахождения значений газодинамических параметров  $c, u, v$  в пространстве физических переменных  $t, x, y$  необходимо выполнять обратное преобразование Лежандра (4), а затем обратную замену (2).

В работе [3] получено частное точное решение задачи (5)–(7), описывающее двумерное течение газа при выполнении конкретного соотношения между показателем политропы  $\gamma$  газа и тангенсом угла  $\alpha$  наклона кривой стенки:

$$\operatorname{tg}^2 \alpha = \frac{\gamma + 1}{3 - \gamma}. \quad (8)$$

Здесь и далее случай выполнения равенства (8) будем называть случаем согласованного течения, и наоборот, когда соотношение (8) не выполняется, тогда рассматриваемый случай двумерного течения будет несогласованным.

Решение (5)–(7) в согласованном случае (8) в координатах  $u, v$  имеет следующий вид [3]:

$$c(u, v) = 1 + \varkappa u + \varkappa \sqrt{\beta} v, \quad (9)$$

где  $\beta = (\varkappa + 1)/(1 - \varkappa)$ . Видно, что решение (9) линейно относительно независимой переменной  $v$ , то есть коэффициенты  $c_i(u) = \partial^i c / \partial v^i|_{v=0}$  ряда

$$c(u, v) = \sum_{i=0}^{\infty} c_i(u) \frac{v^i}{i!}$$

при  $i \geq 2$  равны 0.

С. П. Баутиным и С. Л. Дерябиным [2, с. 196–214] в пространстве специальных независимых переменных (решение строилось для функции  $\Psi$  в пространстве годографа) рассмотрена задача об истечении газа в вакуум при произвольном значении угла  $\alpha$ :  $0 < \alpha < \pi/2$  — наклона косою стенкой, не связанным со значением  $\gamma$  (несогласованный случай). Доказано существование и единственность локально-аналитических решений соответствующих начально-краевых задач, построено решение (5)–(7) для функции  $\Psi(t, u, v)$  в виде ряда по степеням  $v$ . Значения коэффициентов ряда для функции  $\Psi(t, u, v)$  в явном виде не были найдены, значения газодинамических параметров  $c, u, v$  течения газа в пространстве физических переменных  $t, x, y$  не построены.

В цикле работ [4–6] автора настоящей статьи решение исходной системы уравнений газовой динамики (СУГД) рассматриваемой начально-краевой задачи (1) строится для компонент вектора  $\mathbf{U} = (c, u, v)^T$  в виде бесконечного ряда по степеням  $\vartheta$ , где  $\vartheta$  — известная функция независимых физических автомодельных переменных  $\xi = x/t, \eta = y/t$ . В работе [4] построено транспортное уравнение для коэффициента  $c_1(\xi)$  и найдено решение СУГД в согласованном случае. В работе [5] решение В. А. Сучкова применено к описанию двух способов газодинамического воздействия на специальный призматический объем. В работе [6] исходная начально-краевая задача (1) в результате двух невырожденных замен сводится к характеристической задаче Коши стандартного вида. Для этой новой начально-краевой задачи доказана теорема существования и единственности решения СУГД в виде сходящихся бесконечных рядов. Описан алгоритм построения коэффициентов ряда.

В настоящей работе впервые построено аналитическое решение транспортного уравнения для коэффициента  $c_1(\xi)$  решения СУГД, описывающего изэнтропическое истечение политропного газа с косою стенкой в общем несогласованном случае в пространстве физических автомодельных переменных  $\xi = x/t, \eta = y/t$ . Для газа с показателем политропы  $\gamma = 5/3$  (водород) решение транспортного уравнения для коэффициента  $c_1(\xi)$  также впервые построено в явном виде. Построенное решение начально-краевой задачи применено к описанию сильного сжатия газа в объеме с непроницаемыми стенками, представляющего собой в поперечном сечении правильный треугольник ( $\alpha = \pi/3$ ).

**1. Начально-краевая задача Коши стандартного вида для описания истечения газа в вакуум на косою стенке.** В результате невырожденной замены  $\xi = x/t, \eta = y/t$  исходная начально-краевая задача (1)

для СУГД, решение которой при  $t > 0$  описывает разлет политропного газа в вакуум на косой стенке, записывается в векторно-матричном виде (см. работу [4]) для вектора  $\mathbf{U} = (u_1, u_2, u_3)^\top = (c, u, v)^\top$ :

$$\begin{cases} A\mathbf{U}_\xi + B\mathbf{U}_\eta = \mathbf{0}, \\ \mathbf{U}|_{C^+} = \mathbf{U}_0, \\ u_3|_{\eta=\xi \operatorname{tg} \alpha} = u_2 \operatorname{tg} \alpha|_{\eta=\xi \operatorname{tg} \alpha}. \end{cases} \quad (10)$$

Начальное условие задачи (10) задается значением вектора  $\mathbf{U}$  на характеристике  $C^+ - \mathbf{U}_0 = (c_0, u_0, 0)^\top$ . Звуковая характеристика  $C^+$  задается уравнением  $\eta = f(\xi)$ , где  $f(\xi)$  — неизвестная функция независимой переменной  $\xi$ . Краевое условие (граничное условие) задачи (10) задается в виде условия непротекания газа на косой стенке, определяемой уравнением  $\eta = \xi \operatorname{tg} \alpha$ .

Матрицы  $A$  и  $B$  задачи (10) следующие:

$$A = \begin{pmatrix} u - \xi & \varkappa c & 0 \\ c/\varkappa & u - \xi & 0 \\ 0 & 0 & u - \xi \end{pmatrix}, \quad B = \begin{pmatrix} v - \eta & 0 & \varkappa c \\ 0 & v - \eta & 0 \\ c/\varkappa & 0 & v - \eta \end{pmatrix}.$$

Начально-краевые условия, коэффициенты матриц  $A$  и  $B$  задачи (10) предполагаются аналитическими функциями.

Для приведения задачи (10) к характеристической задаче Коши стандартного вида сделаем замену переменных

$$\vartheta = \eta - f(\xi), \quad \xi' = \xi, \quad (11)$$

где линия  $\vartheta = 0$  задает звуковую характеристику  $C^+$ . Якобиан  $J$  замены (11) следующий:

$$J = \begin{vmatrix} \vartheta_\eta & \vartheta_\xi \\ \xi'_\eta & \xi'_\xi \end{vmatrix} = \begin{vmatrix} 1 & -f' \\ 0 & 1 \end{vmatrix} = 1 - 0 \cdot f' = 1,$$

т.е. при выполнении условия  $|f'| < \infty$  замена (11) невырожденная.

В результате замены (11) задача (10) преобразуется к виду

$$\begin{cases} [B - f'(\xi)A]\mathbf{U}_\vartheta + A\mathbf{U}_\xi = \mathbf{0}, \\ \mathbf{U}|_{\vartheta=0} = \mathbf{U}_0, \\ u_3|_{\vartheta=\xi \operatorname{tg} \alpha - f(\xi)} = u_2 \operatorname{tg} \alpha|_{\vartheta=\xi \operatorname{tg} \alpha - f(\xi)}. \end{cases} \quad (12)$$

Задача (12) эквивалентна задаче (10). Новая замена переменных  $\xi, \vartheta$  на переменные  $\vartheta, \zeta$  по формулам

$$\vartheta' = \vartheta, \quad \zeta = \vartheta + f(\xi) - \xi \operatorname{tg} \alpha \quad (13)$$

приводит задачу (12) к следующему виду:

$$\begin{cases} [B - f'(\xi)A]\mathbf{U}_\vartheta + [B - \operatorname{tg} \alpha A]\mathbf{U}_\zeta = \mathbf{0}, \\ \mathbf{U}|_{\vartheta=0} = \mathbf{U}_0, \\ u_3|_{\zeta=0} = u_2 \operatorname{tg} \alpha|_{\zeta=0}. \end{cases} \quad (14)$$

Из соотношения (13), неявно задающего функцию  $\xi$  от  $(\zeta - \vartheta)$ , с учетом неравенства (16) однозначно определяется функция

$$\xi = \varphi(\zeta - \vartheta). \quad (15)$$

Далее для простоты записи будут сохраняться обозначения  $f(\xi)$ ,  $f'(\xi)$ ,  $c_0(\xi)$ , естественно, с учетом наличия связи (15).

Исходное уравнение косой стенки  $y = x \operatorname{tg} \alpha$  в координатах  $\vartheta$ ,  $\zeta$  имеет вид  $\zeta = 0$ , т.е. косая стенка берется за новую координатную ось. Якобиан замены переменных (13) следующий:

$$J_2 = \begin{vmatrix} \frac{\partial \zeta}{\partial \vartheta} & \frac{\partial \zeta}{\partial \xi} \\ \frac{\partial \vartheta'}{\partial \vartheta} & \frac{\partial \vartheta'}{\partial \xi} \end{vmatrix} = \begin{vmatrix} 1 & f'(\xi) - \operatorname{tg} \alpha \\ 1 & 0 \end{vmatrix} = \operatorname{tg} \alpha - f'(\xi).$$

Чтобы замена (13) была невырожденной, необходимо выполнение неравенства

$$J_2 = \operatorname{tg} \alpha - f'(\xi) \neq 0, \quad (16)$$

т.е. наклон косой стенки не равен наклону звуковой характеристики, разделяющей области централизованной и двойной волны. Неравенство (16) доказывается в работе [6].

Таким образом, начально-краевая задача (14) для вектора  $\mathbf{U}$  записана в координатах  $\vartheta$ ,  $\zeta$ . Начально-граничные условия (14) определены на прямых, задаваемых уравнениями  $\vartheta = 0$  и  $\zeta = 0$ . Далее для построения локально-аналитического решения в окрестности точки ( $\zeta = 0$ ,  $\vartheta = 0$ ) задачу (14) необходимо привести к форме характеристической задачи Коши стандартного вида. Для этого СУГД из задачи (14) слева умножается на матрицу  $T_1$ , а вектор  $\mathbf{U}$  заменяется новым вектором:

$$\mathbf{W} = T_2^{-1} \mathbf{U} = (w_1, w_2, w_3)^\top = \left( c + v \frac{\varkappa}{c_0} (c_0 f' - f), u + v f', -\frac{\varkappa}{c_0} v \right)^\top.$$

Невырожденные матрицы  $T_1$ ,  $T_2$ , элементы которых есть аналитические функции независимой переменной  $\xi$ , имеют вид

$$T_1 = \begin{pmatrix} 0 & 1 & 0 \\ 1 & 0 & 0 \\ c_0 f' - f & \varkappa c_0 f' & -\varkappa c_0 \end{pmatrix}, \quad T_2 = \begin{pmatrix} 1 & 0 & c_0 f' - f \\ 0 & 1 & c_0 f' / \varkappa \\ 0 & 0 & -c_0 / \varkappa \end{pmatrix}.$$

Начальное условие для вектора  $\mathbf{U}$  заменяется начальным условием для вектора  $\mathbf{W}$ :

$$\mathbf{W}|_{\vartheta=0} = \mathbf{W}_0 = (w_{1,0}, w_{2,0}, w_{3,0})^\top = (c_0, u_0, 0)^\top.$$

Краевое условие задачи (14)

$$u_3|_{\zeta=0} = u_2 \operatorname{tg} \alpha|_{\zeta=0}$$

переписывается через компоненты вектора  $\mathbf{W}$  и преобразуется к виду

$$w_3|_{\zeta=0} = g(\vartheta) w_2|_{\zeta=0},$$

где  $g(\vartheta) = - \left[ \frac{\varkappa}{c_0(\varphi(\zeta-\vartheta))} \frac{\operatorname{tg} \alpha}{[1+f'_\xi(\varphi(\zeta-\vartheta)) \operatorname{tg} \alpha]} \right]_{\zeta=0}$ .



Окончательно начально-краевая задача (14) имеет вид

$$\begin{cases} T_1[B - f'A]T_2\mathbf{W}_\vartheta + T_1[B - \operatorname{tg} \alpha A]T_2\mathbf{W}_\zeta + \\ \quad + T_1[B - \operatorname{tg} \alpha A] \frac{\partial T_2}{\partial \xi} \frac{\mathbf{W}}{f' - \operatorname{tg} \alpha} = \mathbf{0}, \\ \mathbf{W} \Big|_{\vartheta=0} = \mathbf{W}_0, \\ w_3 \Big|_{\zeta=0} = g(\vartheta)w_2 \Big|_{\zeta=0}. \end{cases} \quad (17)$$

Задача (17) эквивалентна задаче (12), а та, в свою очередь, задаче (10), так как замены (11) и (13) невырожденные. Для того чтобы задача (17) была характеристической задачей Коши стандартного вида, необходимо выполнение следующего условия при  $\vartheta = 0$  (см. работу [7]):

$$\det (T_1[B - f'(\xi)A]T_2) \Big|_{\vartheta=0} \mathbf{w} = \mathbf{w}_0 \equiv 0.$$

Известно, что определитель произведения матриц равен произведению определителей каждой из матриц, отсюда

$$\det T_1 \Big|_{\vartheta=0} \mathbf{w} = \mathbf{w}_0 \cdot \det [B - f'(\xi)A] \Big|_{\vartheta=0} \mathbf{w} = \mathbf{w}_0 \cdot \det T_2 \Big|_{\vartheta=0} \mathbf{w} = \mathbf{w}_0 \equiv 0,$$

т. к. матрицы  $T_1$  и  $T_2$  невырожденные, их определители отличны от нуля. В результате получаем матричное уравнение

$$\det [B - f'(\xi)A] \Big|_{\vartheta=0} \mathbf{u} = \mathbf{u}_0 \equiv 0, \quad (18)$$

решение которого дает выражение для функции  $f(\xi)$  в явном виде:

$$f(\xi) = \pm \begin{cases} c_0 \sqrt{\operatorname{tg}^2 \alpha - 2 \ln c_0}, & \varkappa = 1 \quad (\gamma = 3), \\ c_0 \sqrt{\beta + c_0^{\frac{1-\varkappa}{\varkappa}} (\operatorname{tg}^2 \alpha - \beta)}, & \varkappa \neq 1 \quad (\gamma \neq 3). \end{cases}$$

В работе [6] для задачи (17) доказывается

**ТЕОРЕМА.** *Поставленная задача (17) при найденной функции  $f(\xi)$  является характеристической задачей Коши стандартного вида и поэтому у нее в некоторой окрестности точки  $(\zeta = 0, \vartheta = 0)$  существует единственное локально-аналитическое решение, представимое в виде сходящегося ряда*

$$\mathbf{W}(\zeta, \vartheta) = \sum_{k=0}^{\infty} \mathbf{W}_k(\zeta) \frac{\vartheta^k}{k!}, \quad \mathbf{W}_k(\zeta) = \frac{\partial^k \mathbf{W}}{\partial \vartheta^k} \Big|_{\vartheta=0}.$$

Алгоритм построения решения задачи (17) в пространстве специальных переменных  $\vartheta, \zeta$  подробно описан в работе [6]. Для построения решения задачи (17) в пространстве физических автомодельных переменных  $\xi, \eta$  необходимо осуществлять обратное преобразование согласно заменам (11) и (13), что в общем (несогласованном) случае выполнить в явном виде затруднительно. Поэтому искомое двумерное течение будет строиться как решение задачи (12) в пространстве переменных  $\xi, \vartheta$  в виде сходящегося ряда по степеням  $\vartheta$ :

$$\mathbf{U}(\xi, \vartheta) = \sum_{k=0}^{\infty} \mathbf{U}_k(\xi) \frac{\vartheta^k}{k!}, \quad \mathbf{U}_k(\xi) = \frac{\partial^k \mathbf{U}}{\partial \vartheta^k} \Big|_{\vartheta=0}, \quad (19)$$

так как задачи (17) и (12) эквивалентны. Начальное условие для транспортно-го уравнения задачи (12) будет строиться из граничного условия задачи (17).

**2. Построение транспортного уравнения и уравнения начальных условий для коэффициента  $c_1(\xi)$  рассматриваемой начально-краевой задачи.** При подстановке в СУГД задачи (12) значения  $\vartheta = 0$  получаем соотношения между функциями  $c_1(\xi)$ ,  $u_1(\xi)$  и  $v_1(\xi)$ :

$$u_1 = \frac{c_1}{\varkappa} \frac{c_0 f'}{c_0 f' - f}, \quad v_1 = -\frac{c_1}{\varkappa} \frac{c_0}{c_0 f' - f}. \quad (20)$$

Для построения транспортного уравнения (дифференциальное уравнение для нахождения коэффициента  $c_1(\xi)$ ) необходимо систему (12) продифференцировать по переменной  $\vartheta$  и подставить значение  $\vartheta = 0$ . При этом в соответствии с (19) будут справедливы следующие соотношения:

$$\begin{aligned} c|_{\vartheta=0} &= c_0, & c_\xi|_{\vartheta=0} &= c'_0, & c_\vartheta|_{\vartheta=0} &= c_1, & c_{\xi\vartheta}|_{\vartheta=0} &= c'_1, & c_{\vartheta\vartheta}|_{\vartheta=0} &= c_2, \\ u|_{\vartheta=0} &= u_0, & u_\xi|_{\vartheta=0} &= u'_0, & u_\vartheta|_{\vartheta=0} &= u_1, & u_{\xi\vartheta}|_{\vartheta=0} &= u'_1, & u_{\vartheta\vartheta}|_{\vartheta=0} &= u_2, \\ v|_{\vartheta=0} &= 0, & v_\xi|_{\vartheta=0} &= 0, & v_\vartheta|_{\vartheta=0} &= v_1, & v_{\xi\vartheta}|_{\vartheta=0} &= v'_1, & v_{\vartheta\vartheta}|_{\vartheta=0} &= v_2, \end{aligned}$$

в результате система (12) принимает следующий вид:

$$\begin{cases} u_1 c'_0 - c_0 c'_1 + \varkappa c_1 u'_0 + \varkappa c_0 u'_1 + (v_1 - 1 - u_1 f') c_1 + (c_0 f' - f) c_2 - \\ \quad - \varkappa f' c_1 u_1 - \varkappa f' c_0 u_2 + \varkappa c_1 v_1 + \varkappa c_0 v_2 = 0, \\ c_1 c'_0 + c_0 c'_1 + \varkappa u_1 u'_0 - \varkappa c_0 u'_1 - c_1^2 f' - c_0 f' c_2 + \varkappa (c_0 f' - f) u_2 + \\ \quad + \varkappa (v_1 - 1 - u_1 f') u_1 = 0, \\ -\varkappa c_0 v'_1 + c_1^2 + c_0 c_2 + \varkappa (v_1 - 1 - u_1 f') v_1 + \varkappa (c_0 f' - f) v_2 = 0. \end{cases} \quad (21)$$

Из второго и третьего уравнения системы (21) выразим  $u_2(\xi)$  и  $v_2(\xi)$ :

$$\begin{aligned} u_2 &= -\frac{c_1 c'_0 + c_0 c'_1 + \varkappa u_1 u'_0 - \varkappa c_0 u'_1 - c_1^2 f' - c_0 f' c_2 + \varkappa (v_1 - 1 - u_1 f') u_1}{\varkappa (c_0 f' - f)}, \\ v_2 &= -\frac{c_1^2 + c_0 c_2 + \varkappa (v_1 - 1 - u_1 f') v_1 - \varkappa c_0 v'_1}{\varkappa (c_0 f' - f)}. \end{aligned}$$

Подставим выражения для  $u_2(\xi)$  и  $v_2(\xi)$  в первое уравнение системы (21), в нем сгруппируем слагаемые, содержащие коэффициент  $c_2(\xi)$ , в результате получим следующее уравнение:

$$\begin{aligned} &u_1 c'_0 + \varkappa c_1 u'_0 - c_0 c'_1 + \varkappa c_0 u'_1 + [v_1 - 1 - u_1 f'] c_1 - \varkappa f' c_1 u_1 + \varkappa c_1 v_1 - \\ &- \varkappa c_0 f' \left[ \frac{c_1^2}{\varkappa} \frac{f'}{c_0 f' - f} - \frac{(v_1 - 1 - u_1 f') u_1}{c_0 f' - f} + \frac{c_0 u'_1}{c_0 f' - f} - \frac{c_0}{\varkappa} \frac{c'_1}{c_0 f' - f} \right] - \\ &- \varkappa c_0 f' \left[ -\frac{u_1 u'_0}{c_0 f' - f} - \frac{c'_0}{\varkappa} \frac{c_1}{c_0 f' - f} \right] + \varkappa c_0 \left[ \frac{c_0 v'_1}{c_0 f' - f} - \frac{c_1^2}{\varkappa} \frac{1}{c_0 f' - f} \right] - \\ &- \varkappa c_0 v_1 \frac{v_1 - 1 - u_1 f'}{c_0 f' - f} + c_2 \frac{(c_0 f' - f)^2 - (c_0 f')^2 - c_0^2}{c_0 f' - f} = 0. \end{aligned}$$

Множитель при коэффициенте  $c_2(\xi)$  тождественно равен нулю, так как справедливо соотношение (18). В результате получаем дифференциальное уравнение относительно коэффициентов  $c_1(\xi)$ ,  $u_1(\xi)$  и  $v_1(\xi)$ :

$$\begin{aligned} & u_1 c_0' + \kappa c_1 u_0' - c_0 c_1' + \kappa c_0 u_1' + [v_1 - 1 - u_1 f'] c_1 - \kappa f' c_1 u_1 + \kappa c_1 v_1 - \\ & - \kappa c_0 f' \left[ \frac{c_1^2}{\kappa c_0 f' - f} - \frac{(v_1 - 1 - u_1 f') u_1}{c_0 f' - f} + \frac{c_0 u_1'}{c_0 f' - f} - \frac{c_0}{\kappa} \frac{c_1'}{c_0 f' - f} \right] - \\ & - \kappa c_0 f' \left[ -\frac{u_1 u_0'}{c_0 f' - f} - \frac{c_0'}{\kappa} \frac{c_1}{c_0 f' - f} \right] + \kappa c_0 \left[ \frac{c_0 v_1'}{c_0 f' - f} - \frac{c_1^2}{\kappa} \frac{1}{c_0 f' - f} \right] - \\ & - \kappa c_0 v_1 \frac{v_1 - 1 - u_1 f'}{c_0 f' - f} = 0. \quad (22) \end{aligned}$$

Используя соотношения (20), можно свести уравнение (22) к дифференциальному уравнению относительно неизвестной функции  $c_1(\xi)$  и построить таким образом транспортное уравнение. После упрощений в результате элементарных преобразований исходное уравнение (22) записывается в нормализованном виде:

$$c_1' - \left[ \frac{c_0^2}{f^2} - 1 - \frac{4}{\kappa + 1} \frac{c_0^2}{c_0^2 + f^2} \right] \frac{c_1}{2c_0} - \frac{\kappa + 1}{\kappa} \frac{(c_0^2 + f^2)^2}{4c_0^2 f^3} c_1^2 = 0. \quad (23)$$

Рассмотрим общий несогласованный случай, когда  $\kappa \neq 1$ ,  $\gamma \neq 3$ , тогда функцию  $f(\xi)$  можно записать в виде произведения

$$f(\xi) = c_0(\xi)R(\xi), \quad (24)$$

где  $R(\xi) = \sqrt{\beta + c_0^{(1-\kappa)/\kappa} (\operatorname{tg}^2 \alpha - \beta)}$ . Тогда уравнение (23) можно упростить до следующего вида:

$$c_1' - \left[ \frac{1}{R^2} - 1 - \frac{4}{\kappa + 1} \frac{1}{R^2 + 1} \right] \frac{c_1}{2c_0} - \frac{\kappa + 1}{\kappa} \frac{(1 + R^2)^2}{4R^3} \frac{c_1^2}{c_0} = 0. \quad (25)$$

Построим начальное условие для транспортного уравнения (25). Для этого краевое условие из задачи (17) продифференцируем по  $\vartheta$  и в получившееся соотношение

$$w_{3\vartheta}|_{\zeta=0} = [g'(\vartheta)w_2 + g(\vartheta)w_{2\vartheta}]_{\zeta=0}$$

подставим значение  $\vartheta = 0$ :

$$w_{3,1}|_{\zeta=0} = g_{\vartheta}'(0)w_{2,0}|_{\zeta=0} + g(0)w_{2,1}|_{\zeta=0}.$$

Здесь  $g(0)$  и  $g'(0)$  — значения функции  $g(\vartheta)$  и ее производной по  $\vartheta$  при  $\vartheta = 0$ . Так как  $w_{2,0}|_{\zeta=0} = u_0|_{\zeta=0} = 0$ , выполняется

$$w_{3,1}|_{\zeta=0} = g(0)w_{2,1}|_{\zeta=0}. \quad (26)$$

По определению  $w_{3,1}|_{\zeta=0} = -\frac{\kappa}{c_0} v_1|_{\zeta=0}$ . Для определения начального условия для уравнения (25) необходимо найти явный вид для выражения  $w_{2,1}|_{\zeta=0}$ .

Для этого в систему из задачи (17) подставим значение  $\vartheta = 0$ . С учетом вида функций  $w_1, w_2, w_3$  и  $w'_{1\zeta}, w'_{2\zeta}, w'_{3\zeta}$  и  $w'_{1\vartheta}, w'_{2\vartheta}, w'_{3\vartheta}$  при  $\vartheta = 0$  система (17) принимает вид

$$\begin{cases} -\frac{c_0}{\varkappa} f' w_{1,1} + (c_0 f' - f) w_{2,1} = \frac{u'_0 f}{f' - \operatorname{tg} \alpha}, \\ (c_0 f' - f) w_{1,1} - \varkappa c_0 f' w_{2,1} = \frac{c'_0 f}{f' - \operatorname{tg} \alpha}. \end{cases} \quad (27)$$

Система (27) представляет собой систему линейных алгебраических уравнений, решив которую, найдем функции  $w_{1,1}, w_{2,1}$ :

$$w_{1,1} = -\frac{c'_0}{f' - \operatorname{tg} \alpha}, \quad w_{2,1} = -\frac{u'_0}{f' - \operatorname{tg} \alpha}.$$

Подставим в (26) выражения для  $w_{3,1}, w_{2,1}, g(0)$ :

$$v_1|_{\zeta=0} = -\frac{u'_0}{f' - \operatorname{tg} \alpha} \frac{\operatorname{tg} \alpha}{1 + f' \operatorname{tg} \alpha} \Big|_{\zeta=0}.$$

С учетом связи (20) между функциями  $c_1(\xi)$  и  $v_1(\xi)$  и уравнением характеристики (24) получим начальное условие для  $c_1(\xi)$  в случае, когда  $\varkappa \neq 1, \gamma \neq 3$ :

$$c_1|_{\zeta=0} = -\frac{2c'_0 R(1 + R^2)}{R^2 - 2R \operatorname{tg} \alpha - 1} \frac{\operatorname{tg} \alpha}{2R + \operatorname{tg} \alpha(R^2 - 1)} \Big|_{\zeta=0}.$$

При  $\zeta = 0$  и  $\vartheta = 0$ , т. е. когда  $\xi = 1$ , значение  $c_0(1) = 1$ , а значение  $R(\xi = 1) = \operatorname{tg} \alpha$ ; отсюда

$$c_1|_{\xi=1} = \frac{2c'_0 \operatorname{tg} \alpha}{\operatorname{tg}^2 \alpha + 1}. \quad (28)$$

Таким образом, с учетом (25) и (28) задача Коши для транспортного уравнения рассматриваемой СУГД в общем несогласованном случае при  $\varkappa \neq 1, \gamma \neq 3$  будет иметь вид

$$\begin{cases} c'_1 - P(\xi)c_1 - Q(\xi)c_1^2 = 0, \\ c_1|_{\xi=1} = \frac{2c'_0 \operatorname{tg} \alpha}{\operatorname{tg}^2 \alpha + 1}, \end{cases} \quad (29)$$

где

$$P(\xi) = \frac{1}{2c_0} \left[ \frac{1}{R^2} - 1 - \frac{4}{\varkappa + 1} \frac{1}{R^2 + 1} \right], \quad Q(\xi) = \frac{(1 + R^2)^2}{4c'_0 c_0 R^3}.$$

Первое уравнение задачи (29) — дифференциальное уравнение Бернулли, решение которого можно выписать в квадратурах.

**3. Решение транспортного уравнения для коэффициента  $c_1(\xi)$  в несогласованном случае при  $\varkappa \neq 1, \gamma \neq 3$ .** Запишем функцию  $c_1(\xi)$  как произведение двух неизвестных функций  $c_1(\xi) = q(\xi)p(\xi)$  и подставим в первое уравнение задачи (29):

$$p'q + (q' - P(\xi)q)p - Q(\xi)p^2q^2 = 0. \quad (30)$$

Коэффициент при  $p(\xi)$  в уравнении (30) зануляется и значение  $q(\xi)$  находится из решения дифференциального уравнения

$$q' - P(\xi)q = 0. \quad (31)$$

Решением (31) будет функция

$$q(\xi) = \exp\left(\int P(\xi)d\xi\right).$$

Найдем значение интеграла, стоящего в показателе экспоненты:

$$\begin{aligned} \int P(\xi)d\xi = \frac{1}{2c_0'} \int \frac{dc_0}{c_0(\beta + c_0^{1/\varkappa-1}(\text{tg}^2 \alpha - \beta))} - \frac{1}{2c_0'} \int \frac{dc_0}{c_0} - \\ - \frac{2}{\varkappa} \int \frac{dc_0}{c_0(\beta + 1 + c_0^{1/\varkappa-1}(\text{tg}^2 \alpha - \beta))}. \end{aligned}$$

Сделаем замену переменных:

$$z = c_0^{1/\varkappa}, \quad c_0 = z^\varkappa, \quad dc_0 = \varkappa z^{\varkappa-1} dz. \quad (32)$$

Здесь и далее предполагается, что  $\varkappa \in \mathbb{Q}$ . В результате будем иметь

$$\begin{aligned} \int P(\xi)d\xi = \frac{\varkappa + 1}{2} \int \frac{z^{\varkappa-2} dz}{\beta z^{\varkappa-1} + \text{tg}^2 \alpha - \beta} - 2 \int \frac{z^{\varkappa-2} dz}{(\beta + 1)z^{\varkappa-1} + \text{tg}^2 \alpha - \beta} - \\ - \frac{1}{2c_0'} \ln c_0 = \ln \left( \frac{c_0^{(\varkappa-1)/\varkappa} (\beta + 1 + c_0^{(1-\varkappa)/\varkappa} (\text{tg}^2 \alpha - \beta))}{c_0 \sqrt{\beta + c_0^{(1-\varkappa)/\varkappa} (\text{tg}^2 \alpha - \beta)}} \right). \end{aligned}$$

В результате

$$q(\xi) = \frac{c_0^{(\varkappa-1)/\varkappa} (\beta + 1 + c_0^{(1-\varkappa)/\varkappa} (\text{tg}^2 \alpha - \beta))}{c_0 \sqrt{\beta + c_0^{(1-\varkappa)/\varkappa} (\text{tg}^2 \alpha - \beta)}} = \frac{c_0^2 + f^2}{c_0^{(\varkappa+1)/\varkappa} f} = \frac{1 + R^2}{c_0^{1/\varkappa} R}. \quad (33)$$

Функция  $p(\xi)$  является решением уравнения

$$\frac{dp}{p^2} = \frac{1}{c_0'} Q(c_0)q(c_0)dc_0,$$

отсюда

$$\tilde{C} - \frac{1}{p} = \left(\frac{\varkappa + 1}{2\varkappa}\right)^2 \int \frac{(1 + R^2)^3}{c_0^{(\varkappa+1)/\varkappa} R^4} dc_0, \quad (34)$$

где  $\tilde{C}$  — константа интегрирования.

Вычислим интеграл, стоящий в правой части выражения (34). После замены (32) интеграл переписывается следующим образом:

$$\begin{aligned} \int \frac{(1+R^2)^3}{c_0^{(\varkappa+1)/\varkappa} R^4} dc_0 &= \int \frac{dc_0}{c_0^{(\varkappa+1)/\varkappa} R^4} + 3 \int \frac{dc_0}{c_0^{(\varkappa+1)/\varkappa} R^2} + 3 \int \frac{dc_0}{c_0^{(\varkappa+1)/\varkappa}} + \\ &+ \int \frac{R^2 dc_0}{c_0^{(\varkappa+1)/\varkappa}} = -\frac{\operatorname{tg}^2 \alpha - \beta}{c_0} + 3\varkappa \int \frac{z^{\varkappa-3} dz}{(z^{\varkappa-1}\beta + (\operatorname{tg}^2 \alpha - \beta))} - \\ &- \frac{\varkappa(\beta + 3)}{c_0^{1/\varkappa}} + \varkappa \int \frac{dz}{z^{4-2\varkappa}(z^{\varkappa-1}\beta + (\operatorname{tg}^2 \alpha - \beta))^2}. \end{aligned} \quad (35)$$

Последний интеграл в выражении (35) берется по частям:

$$\begin{aligned} \int \frac{dz}{z^{4-2\varkappa}(z^{\varkappa-1}\beta + (\operatorname{tg}^2 \alpha - \beta))^2} &= \frac{1}{\beta(\varkappa - 1)} \int \frac{z^{\varkappa-2} d\beta z^{\varkappa-1}}{(z^{\varkappa-1}\beta + (\operatorname{tg}^2 \alpha - \beta))^2} = \\ &= \frac{1}{\varkappa + 1} \left[ -\frac{z^{\varkappa-2}}{z^{\varkappa-1}\beta + (\operatorname{tg}^2 \alpha - \beta)} + (\varkappa - 2) \int \frac{z^{\varkappa-3} dz}{z^{\varkappa-1}\beta + (\operatorname{tg}^2 \alpha - \beta)} \right]. \end{aligned} \quad (36)$$

Выражение (36) подставим в (35):

$$\begin{aligned} \int \frac{(1+R^2)^3}{c_0^{(\varkappa+1)/\varkappa} R^4} dc_0 &= -\frac{\varkappa(\beta + 3)}{c_0^{1/\varkappa}} - \frac{(\operatorname{tg}^2 \alpha - \beta)}{c_0} + \\ &+ \frac{\varkappa}{\varkappa + 1} \frac{z^{\varkappa-2}}{z^{\varkappa-1}\beta + (\operatorname{tg}^2 \alpha - \beta)} + \frac{\varkappa(2\varkappa + 5)}{\varkappa + 1} \int \frac{z^{\varkappa-3} dz}{z^{\varkappa-1}\beta + (\operatorname{tg}^2 \alpha - \beta)}. \end{aligned} \quad (37)$$

Введем обозначение  $I(\xi) = \int \frac{dz}{z^2(\beta + z^{1-\varkappa}(\operatorname{tg}^2 \alpha - \beta))}$  и подставим выражение (37) в (34):

$$\tilde{C}_1 - \frac{1}{p} \left( \frac{2\varkappa}{\varkappa + 1} \right)^2 = -\frac{1}{c_0^{1/\varkappa}} \left( 2\varkappa - 1 + \frac{f^2}{c_0^2} - \frac{\varkappa}{\varkappa + 1} \frac{c_0^2}{f^2} \right) + \frac{\varkappa(2\varkappa + 5)}{\varkappa + 1} I(\xi), \quad (38)$$

где  $\tilde{C}_1 = \tilde{C}(2\varkappa/(\varkappa + 1))^2$ . Из выражения (38) выразим функцию  $p(\xi)$ :

$$\begin{aligned} p(\xi) &= \left( \frac{2\varkappa}{\varkappa + 1} \right)^2 \left[ \tilde{C}_1 + \left( 2\varkappa - 1 + \frac{f^2}{c_0^2} - \frac{\varkappa}{\varkappa + 1} \frac{c_0^2}{f^2} \right) c_0^{-1/\varkappa} - \right. \\ &\quad \left. - \frac{\varkappa(2\varkappa + 5)}{\varkappa + 1} I(\xi) \right]^{-1}. \end{aligned} \quad (39)$$

С учетом (33) и (39) запишем выражение для функции  $c_1(\xi)$ :

$$\begin{aligned} c_1(\xi) &= \frac{c_0^2 + f^2}{c_0 f} \left( \frac{2\varkappa}{\varkappa + 1} \right)^2 \left[ \tilde{C}_1 c_0^{1/\varkappa} + \left( 2\varkappa - 1 + \frac{f^2}{c_0^2} - \frac{\varkappa}{\varkappa + 1} \frac{c_0^2}{f^2} \right) - \right. \\ &\quad \left. - \frac{\varkappa(2\varkappa + 5)}{\varkappa + 1} c_0^{1/\varkappa} I(\xi) \right]^{-1}. \end{aligned} \quad (40)$$

Найдем значение константы интегрирования  $\tilde{C}$  из начального условия, для этого приравняем выражение для  $c_1(\xi)$  из (28) и (40) при  $\xi = 1$ :

$$\tilde{C} = \frac{\varkappa + 1}{2\varkappa} \left( \frac{\varkappa - 1}{2\varkappa} \operatorname{tg}^2 \alpha + \frac{3}{2 \operatorname{tg}^2 \alpha} + \frac{3}{2} - \varkappa + \frac{1}{2\varkappa} + \frac{2\varkappa + 5}{2} I(1) \right).$$

Подставим  $\tilde{C}$  в (40) и окончательно получим выражение для  $c_1(\xi)$  в рассматриваемом случае:

$$c_1(\xi) = \frac{2\kappa}{\kappa + 1} \frac{c_0^2 + f^2}{c_0 f} M(\xi)^{-1},$$

где

$$M(\xi) = c_0^{1/\kappa} \left( \frac{\kappa - 1}{2\kappa} \operatorname{tg}^2 \alpha + \frac{3}{2 \operatorname{tg}^2 \alpha} + \frac{3}{2} - \kappa + \frac{1}{2\kappa} \right) + \kappa + \frac{1}{2} - \frac{1}{2\kappa} + \\ + \frac{\kappa + 1}{2\kappa} \frac{f^2}{c_0^2} - \frac{1}{2} \frac{c_0^2}{f^2} - \frac{2\kappa + 5}{2} c_0^{1/\kappa} (I(\xi) - I(1)).$$

Зная  $c_1(\xi)$ , можно найти  $u_1(\xi)$  и  $v_1(\xi)$ , используя соотношения (20):

$$u_1(\xi) = \frac{2}{\kappa + 1} \frac{c_0^2 - f^2}{c_0 f} M(\xi)^{-1}, \quad v_1(\xi) = \frac{4}{\kappa + 1} M(\xi)^{-1}.$$

Используя построенное решение (функции  $c_1(\xi)$ ,  $u_1(\xi)$  и  $v_1(\xi)$ ), рассмотрим квазисогласованное приближение, когда условие согласования (8) не выполняется, но коэффициенты рядов  $c_i$ ,  $u_i$  и  $v_i$  равны нулю при  $i \geq 2$ :

$$c = c_0 + c_1 \vartheta, \quad u = u_0 + u_1 \vartheta, \quad v = v_1 \vartheta. \quad (41)$$

Можно показать, что решение (41) в координатах  $u$ ,  $v$  будет иметь вид

$$c = 1 + \kappa u + \kappa \frac{f}{c_0} v, \quad (42)$$

где  $f(\xi) = c_0 \sqrt{\beta + c_0^{1/\kappa - 1} (\operatorname{tg}^2 \alpha - \beta)}$ . Из сравнения формул (9) и (42) видно, что в согласованном случае поверхность функции  $c(\xi)$  есть плоскость в переменных  $u$ ,  $v$ , а в квазисогласованном случае это криволинейная поверхность, так как коэффициент при переменной  $v$  есть функция независимой переменной  $\xi$ .

**4. Решение транспортного уравнения для коэффициента  $c_1(\xi)$  в несогласованном случае при  $\gamma = 5/3$ .** При произвольном значении  $\kappa \in \mathbb{Q}$  интеграл  $I(\xi)$  в элементарных функциях не берется. Рассмотрим случай, когда  $\gamma = 5/3$  ( $\kappa = 1/3$ ,  $\beta = 2$  – водород), тогда интеграл  $I(\xi)$  принимает вид, который допускает его интегрирование в элементарных функциях:

$$I(\xi)|_{\kappa=1/3} = \int \frac{dz}{z^2(2 + z^{2/3}(\operatorname{tg}^2 \alpha - 2))}. \quad (43)$$

После замены  $z = t^3$  интеграл (43) преобразуется к виду

$$I(\xi)|_{\kappa=1/3} = 3 \int \frac{dt}{t^4(2 + t^2(\operatorname{tg}^2 \alpha - 2))}.$$

Дробь, стоящая под знаком интеграла, дважды раскладывается на сумму простейших дробей, и после интегрирования имеем

$$I(\xi)|_{\varkappa=1/3} = -\frac{1}{2c_0^3} + \frac{3(\operatorname{tg}^2 \alpha - 2)}{4c_0} + \frac{3(\operatorname{tg}^2 \alpha - 2)^{3/2}}{4\sqrt{2}} \operatorname{arctg} \frac{c_0}{\sqrt{2/(\operatorname{tg}^2 \alpha - 2)}}.$$

При этом

$$I(1)|_{\varkappa=1/3} = -\frac{1}{2} + \frac{3(\operatorname{tg}^2 \alpha - 2)}{4} + \frac{3(\operatorname{tg}^2 \alpha - 2)^{3/2}}{4\sqrt{2}} \operatorname{arctg} \frac{1}{\sqrt{2/(\operatorname{tg}^2 \alpha - 2)}}.$$

Подставим выражение для  $I(\xi)|_{\varkappa=1/3}$  и  $I(1)|_{\varkappa=1/3}$  в (40), получим выражение для функции  $c_1(\xi)$  в явном виде при  $\gamma = 5/3$  ( $\varkappa = 1/3$ ):

$$c_1(\xi)|_{\varkappa=1/3} = \frac{3 + c_0^2(\operatorname{tg}^2 \alpha - 2)}{\sqrt{2 + c_0^2(\operatorname{tg}^2 \alpha - 2)}} \frac{1}{M(\xi)|_{\varkappa=1/3}}, \quad (44)$$

где

$$\begin{aligned} M(\xi)|_{\varkappa=1/3} = & -6c_0^3 + 2.25c_0^3 \operatorname{tg}^2 \alpha + \frac{3c_0^3}{\operatorname{tg}^2 \alpha} + 9\frac{1}{2} - \frac{1}{4}c_0^2(\operatorname{tg}^2 \alpha - 2) + \\ & + \frac{17\sqrt{2}}{8}c_0^3(\operatorname{tg}^2 \alpha - 2)^{3/2} \operatorname{arctg} \sqrt{\frac{1}{2}(\operatorname{tg}^2 \alpha - 2)} - \frac{1}{2 + c_0^2(\operatorname{tg}^2 \alpha - 2)} - \\ & - \frac{17\sqrt{2}}{8}c_0^3(\operatorname{tg}^2 \alpha - 2)^{3/2} \operatorname{arctg} \frac{c_0}{\sqrt{2/(\operatorname{tg}^2 \alpha - 2)}}. \end{aligned}$$

Из выражения для  $c_1(\xi)|_{\varkappa=1/3}$  легко найти выражения для  $u_1(\xi)|_{\varkappa=1/3}$  и  $v_1(\xi)|_{\varkappa=1/3}$  также в явном виде:

$$\begin{aligned} u_1(\xi)|_{\varkappa=1/3} &= -\frac{3(1 + c_0^2(\operatorname{tg}^2 \alpha - 2))}{2\sqrt{2 + c_0^2(\operatorname{tg}^2 \alpha - 2)}} \frac{1}{M(\xi)|_{\varkappa=1/3}}, \\ v_1(\xi)|_{\varkappa=1/3} &= \frac{3}{M(\xi)|_{\varkappa=1/3}}. \end{aligned} \quad (45)$$

Применим построенное решение (функции  $c_1(\xi)$ ,  $u_1(\xi)$  и  $v_1(\xi)$  при  $\gamma = 5/3$  ( $\varkappa = 1/3$ )) к описанию течения сжатия специального призматического объема в квазисогласованном приближении.

**5. Описание течения сжатия в квазисогласованном случае при  $\gamma = 5/3$  и  $\alpha = \pi/3$ .** В работах [1, 2, 4-6] было показано, что результаты решения задачи о разлете газа на косой стенке в вакуум при  $t > 0$  можно использовать для описания сжатия газа в специальном призматическом объеме для  $t < 0$ .

Рассмотрим объем, ограниченный непроницаемыми стенками, представляющий собой в поперечном сечении правильный треугольник  $\triangle EFG$  (см.



рис. 2, а), в котором находится покоящийся газ. В момент времени  $t = t_0 < 0$  в результате внешнего воздействия внешние стенки  $EF$ ,  $FG$  и  $EG$  треугольника  $\triangle EFG$  начинают движение к центру пересечения биссектрис — точке  $O$  на рис. 2.

В силу симметричности внешнего воздействия и самого объема  $\triangle EFG$  течение газа в областях  $\triangle FGO$  и  $\triangle EGO$  подобно течению в  $\triangle EFO$ . Далее отдельно рассматривается фрагмент  $\triangle EFO$  треугольника  $\triangle EFG$  (см. рис. 2, б).

На рис. 2, б показана конфигурация течения сжатия в момент времени  $t_0 < t < 0$  для фрагмента  $\triangle EFO$ . Линии  $EO$  и  $FO$  в нашей задаче являются непроницаемыми стенками треугольника  $\triangle EFO$  в силу симметричности течения в объеме  $\triangle EFG$ . В работе [5] показано, что в течении сжатия возникают три области: область покоящегося газа (0); область течения в виде централизованной волны (1); область течения в виде двойной волны (2).

Для описания течения сжатия в области двойной волны (2) используется построенное решение (44)–(45) задачи об истечении газа в вакуум с косой стенки при  $\alpha = \pi/3$ .

Найдем выражение для функции  $c_1(\xi)$  для рассматриваемого специального объема. При  $\gamma = 5/3$  и  $\alpha = \pi/3$  значение  $\varkappa = 1/3$ ,  $\beta = 2$  и функция  $f(\xi) = c_0\sqrt{c_0^2 + 2}$ . Подставим данные значения  $\varkappa$ ,  $\beta$ ,  $f(\xi)$  в формулы (44)–(45), в результате получим

$$M(\xi)\Big|_{\substack{\varkappa=1/3 \\ \alpha=\pi/3}} = 9.5 + 3.5996c_0^3 - 0.25c_0^2 - \frac{1}{c_0^2 + 2} - \frac{17\sqrt{2}}{8}c_0^3 \operatorname{arctg} \frac{\sqrt{2}}{2}c_0,$$

$$c_1(\xi)\Big|_{\substack{\varkappa=1/3 \\ \alpha=\pi/3}} = \frac{3 + c_0^2}{\sqrt{2 + c_0^2}} \frac{1}{M(\xi)\Big|_{\substack{\varkappa=1/3 \\ \alpha=\pi/3}}}, \quad (46)$$

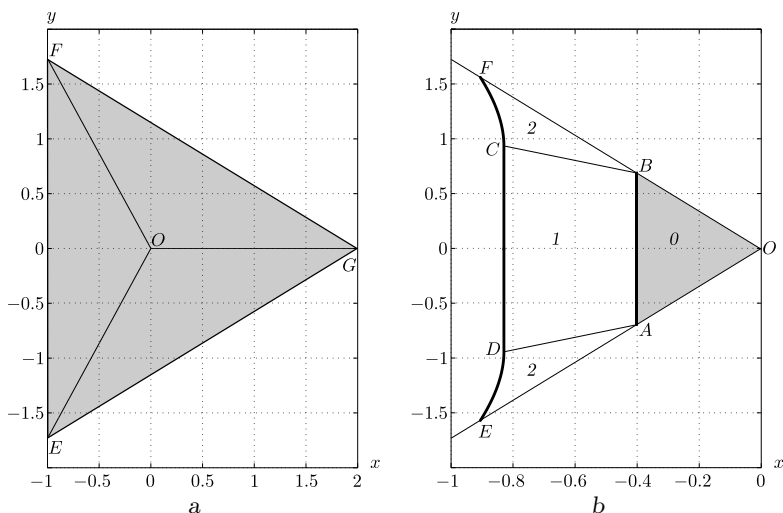


Рис. 2. Начальная конфигурация в момент  $t_0 < 0$  (а) и конфигурация потока в момент  $t_0 < t < 0$  (б): 0 — область, в которой находится покоящийся газ; 1 — область течения в виде централизованной волны; 2 — область течения в виде двойной волны

[Figure 2. (a) Initial configuration  $t_0 < 0$ ; (b) the flow configuration at  $t_0 < t < 0$ : 0 — the quiescent gas region; 1 — the flow region in the form of a centered wave; 2 — the flow region in the form of a double wave]

$$u_1(\xi) \Big|_{\substack{\kappa=1/3 \\ \alpha=\pi/3}} = -\frac{c_0^2 + 1}{2\sqrt{c_0^2 + 2}} \frac{3}{M(\xi) \Big|_{\substack{\kappa=1/3 \\ \alpha=\pi/3}}}, \quad v_1(\xi) \Big|_{\substack{\kappa=1/3 \\ \alpha=\pi/3}} = \frac{3}{M(\xi) \Big|_{\substack{\kappa=1/3 \\ \alpha=\pi/3}}}.$$

Функции  $M(\xi) \Big|_{\substack{\kappa=1/3 \\ \alpha=\pi/3}}$  и  $c_1(\xi) \Big|_{\substack{\kappa=1/3 \\ \alpha=\pi/3}}$  определены на интервале, где  $c_0(\xi) \geq 0$ .

При описании сжатия газа в специальном призматическом объеме область определения  $M(\xi) \Big|_{\substack{\kappa=1/3 \\ \alpha=\pi/3}}$  и  $c_1(\xi) \Big|_{\substack{\kappa=1/3 \\ \alpha=\pi/3}}$  есть интервал  $c_0(\xi) \geq 1$ . При описании разлета газа с косої стенки в вакуум, имеющей наклон  $\alpha = \pi/3$ , область определения функций  $M(\xi) \Big|_{\substack{\kappa=1/3 \\ \alpha=\pi/3}}$  и  $c_1(\xi) \Big|_{\substack{\kappa=1/3 \\ \alpha=\pi/3}}$  есть интервал  $0 \leq c_0(\xi) \leq 1$ .

Найдем нули функции, стоящей в знаменателе дроби (46) при  $c_0 \geq 1$ . Так как справедливо неравенство  $c_0^2 + 2 > 0$  при любых  $c_0 \geq 0$ , второй сомножитель в знаменателе дроби равен нулю:

$$M(\xi) \Big|_{\substack{\kappa=1/3 \\ \alpha=\pi/3}} = 9.5 + 3.5996c_0^3 - 0.25c_0^2 - \frac{1}{c_0^2 + 2} - \frac{17\sqrt{2}}{8}c_0^3 \operatorname{arctg} \frac{\sqrt{2}}{2}c_0 = 0. \quad (47)$$

Численное решение уравнения (47) при  $c_0(\xi) \geq 1$  дает единственное значение  $c_0^* = 3.9564$  ( $\xi_* = 12.8257$ ), при котором значение функции  $M(\xi) \Big|_{\substack{\kappa=1/3 \\ \alpha=\pi/3}}$  равно нулю. Отсюда

$$\lim_{\xi \rightarrow \xi_*} c_1(\xi) = \lim_{\xi \rightarrow \xi_*} \frac{\partial c}{\partial \vartheta} \Big|_{\vartheta=0} = \infty. \quad (48)$$

Значение предела (48) означает, что в течении типа двойная волна при сильном сжатии газа, находящегося в рассматриваемом призматическом объеме, наступает градиентная катастрофа, функция  $c(\xi, \vartheta)$  в точке  $\xi_*$  при  $\vartheta = 0$  (точка  $D$  на рис. 3,  $b$ ) испытывает сильный разрыв, что приводит к образованию ударной волны.

Необходимо отметить следующее. Транспортное уравнение (29) — нелинейное дифференциальное уравнение, поэтому его решение содержит найденную в точке  $\xi_*$  особенность. Все последующие дифференциальные уравнения для нахождения коэффициентов  $c_i$  при  $i \geq 2$  будут линейными, поэтому других особенностей решение задачи (12) не содержит.

Построим поверхность функции  $c(\xi, \vartheta)$  при приближении переменной  $\xi$  к значению  $\xi_*$  для квазисогласованного случая (рис. 3,  $a$ ) и для согласованного случая (рис. 3,  $b$ ). Согласованный случай рассматривается для  $\gamma = 2$ , когда угол наклона косої стенки равен  $\pi/3$ .

Обозначения на рис. 3 повторяют обозначения рис. 1, 2. Черным цветом выделена область максимального сжатия, белым цветом — область покоящегося газа.

На рис. 3,  $a$  красным цветом отмечена точка  $D$ , в которой при  $\xi = \xi_*$  и  $\vartheta = 0$  обнаружена особенность найденного решения, где  $c_1 \rightarrow \infty$  при  $\xi \rightarrow \xi_*$ .

Для остальной области сжатия значение  $c(\xi, \vartheta)$  в квазисогласованном случае значительно меньше, чем в согласованном случае. Приведенная картина распределения  $c(\xi, \vartheta)$  не полностью отражает рассматриваемое течение сжатия, так как члены ряда при  $i \geq 2$  искусственно отброшены. Различия в значениях  $c(\xi, \vartheta)$  также обусловлены тем, что на правом рисунке газ имеет показатель политропы  $\gamma = 2$ , а на левом  $\gamma = 5/3$ .

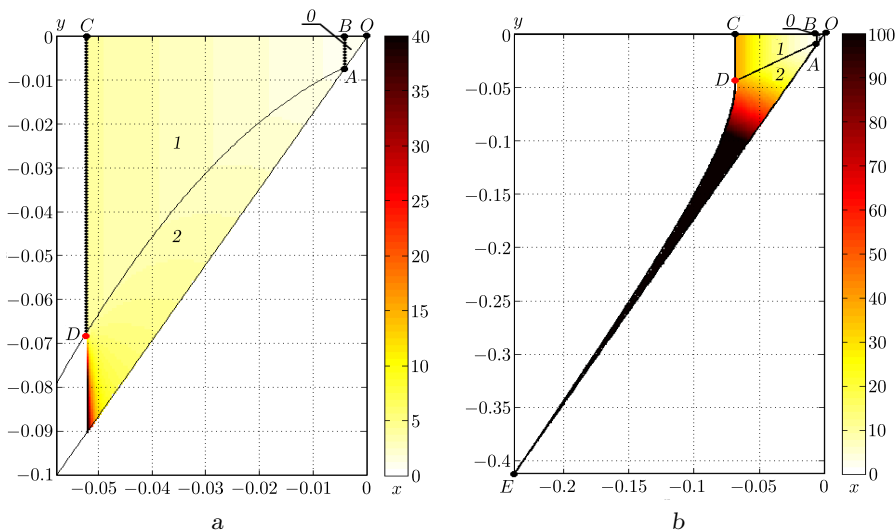


Рис. 3. Поверхность функции  $c(\xi, \vartheta)$  при приближении к точке  $\xi_*$  в квазисогласованном (a) и согласованном (b) случаях:  $\theta$  — область, в которой находится покоящийся газ; 1 — область течения в виде центрированной волны; 2 — область течения в виде двойной волны (онлайн в цвете)

[Figure 3. (color online) The surface of the function  $c(\xi, \vartheta)$  when approaching the point  $\xi_*$  in the quasi-consistent (a) and consistent (b) cases:  $\theta$  — the quiescent gas region; 1 — the flow region in the form of a centered wave; 2 — the flow region in the form of a double wave]

### Закключение.

1. Построено аналитическое решение начально-краевой задачи об истечении политропного газа с косо́й стенки в вакуум в постановке характеристической задачи Коши стандартного вида в пространстве физических автомодельных переменных  $\xi = x/t, \eta = y/t$  в общем несогласованном случае.
2. Построено аналитическое решение транспортного уравнения для коэффициента ряда  $c_1(\xi)$  в общем несогласованном случае, и для частного случая  $\gamma = 5/3$  — случай водорода — для коэффициента  $c_1(\xi)$  построено аналитическое решение в явном виде.
3. Полученное решение применено к описанию сжатия специального призматического объема, представляющего собой в сечении правильный треугольник. Найдена особенность полученного решения в точке  $\xi_* = 12.8257$  на характеристике  $\vartheta = 0$ , когда значение  $c_1 \rightarrow \infty$  при  $\xi \rightarrow \xi_*$ . Таким образом, функция  $c_1(\xi)$  в точке  $\xi_*$  при  $\vartheta = 0$  испытывает сильный разрыв, что означает образование ударной волны сжатия и изменение режима течения газа в области двойной волны с безударного сжатия на «ударное» сжатие.

**Конкурирующие интересы.** Конкурирующих интересов не имею.

**Авторская ответственность.** Я несу полную ответственность за предоставление окончательной версии рукописи в печать. Окончательная версия рукописи мною одобрена.

**Финансирование.** Исследование выполнялось без финансирования.

**Благодарность.** Автор выражает благодарность и признательность своему научному руководителю профессору С.П. Баутину за внимание, помощь и поддержку.

### Библиографический список

1. Баутин С. П. *Математическое моделирование сильного сжатия газа*. Новосибирск: Наука, 2007. 312 с. EDN: QJSOSJ.
2. Баутин С. П., Дерябин С. Л. *Математическое моделирование истечения идеального газа в вакуум*. Новосибирск: Наука, 2005. 390 с. EDN: QJPIDD.
3. Сучков В. А. Истечение в вакуум на кривой стенке // *ПММ*, 1963. Т. 27, № 4. С. 739–740.
4. Баутин С. П., Понькин Е. И. Автомодельные решения задачи об истечении политропного газа в вакуум с кривой стенкой // *ПМТФ*, 2021. Т. 62, № 1. С. 32–40. EDN: KCQUYF. DOI: <https://doi.org/10.15372/PMTF20210104>.
5. Понькин Е. И. Математическое описание двух способов газодинамического воздействия на мишень с использованием решения Сучкова // *Вопр. атомн. науки и техн. Сер. Матем. модел. физ. проц.*, 2022. № 2. С. 27–39. EDN: YPTVJH. DOI: [https://doi.org/10.53403/24140171\\_2022\\_2\\_27](https://doi.org/10.53403/24140171_2022_2_27).
6. Понькин Е. И. Характеристическая задача Коши стандартного вида для описания истечения политропного газа в вакуум с кривой стенкой // *Вестн. Сам. гос. техн. ун-та. Сер. Физ.-мат. науки*, 2022. Т. 26, № 2. С. 322–338. EDN: QYHKRK. DOI: <https://doi.org/10.14498/vsgtu1922>.
7. Баутин С. П. *Характеристическая задача Коши и ее приложения в газовой динамике*. Новосибирск: Наука, 2009. 368 с.

MSC: 76N15, 35C06, 35Q35

# Construction of a self-similar solution to the system of gas dynamics equations describing the outflow of polytropic gas into vacuum from an inclined wall in the inconsistent case

*E. I. Pon'kin*

Snezhinsk Physic Institute of the National Research Nuclear University MEPhI, 8, Komsomolsky st., Snezhinsk, 456776, Russian Federation.

## Abstract

The present paper is devoted to an initial-boundary value problem for the system of gas dynamics equations in the formulation of the characteristic Cauchy problem of standard form, which describes, at  $t > 0$ , the expansion of a polytropic gas into vacuum on an inclined wall in the space of physical self-similar variables  $\xi = x/t$ ,  $\eta = y/t$ , and at  $t < 0$ , strong compression of gas in the prismatic volume.

The solution of the initial-boundary value problem is constructed in the form of series of functions  $c(\xi, \vartheta)$ ,  $u(\xi, \vartheta)$  and  $v(\xi, \vartheta)$  with powers  $\vartheta$ , where  $\vartheta$  is the known function of independent variables. Finding the unknown coefficients  $c_1(\xi)$ ,  $u_1(\xi)$  and  $v_1(\xi)$  of the series of functions  $c(\xi, \vartheta)$ ,  $u(\xi, \vartheta)$  and  $v(\xi, \vartheta)$  is reduced to solving the transport equation for the coefficient  $c_1(\xi)$ .


The study deals with construction of an analytical solution of the transport equation for the coefficient  $c_1(\xi)$  of the solution of the system of gas dynamics equations, which describes the isentropic outflow of a polytropic gas from an inclined wall, in the general inconsistent case, when  $\text{tg}^2 \alpha \neq (\gamma + 1)/(3 - \gamma)$ . When  $\gamma = 5/3$ , which is the case of hydrogen, an analytical solution of the transport equation is constructed for the coefficient  $c_1(\xi)$  in explicit form for the first time.

The obtained solution has been applied to the description of the compression of a special prismatic volume, which is a regular triangle in cross section. The specific feature of the obtained solution  $c_1(\xi)$  indicated in the article is that the value  $c_1 \rightarrow \infty$  as  $\xi \rightarrow \xi_*$ , where the value  $\xi_*$  is given by the equation  $c_0(\xi_*) = 3.9564$ . It is concluded that at the sound characteristic, which is the interface between the flows of centered and double wave types, a gradient catastrophe occurs at the point with coordinates  $\xi = \xi_*$  and  $\vartheta = 0$ ,

## Mathematical Modeling, Numerical Methods and Software Complexes Research Article

© Authors, 2023

© Samara State Technical University, 2023 (Compilation, Design, and Layout)

 The content is published under the terms of the [Creative Commons Attribution 4.0 International License](http://creativecommons.org/licenses/by/4.0/) (<http://creativecommons.org/licenses/by/4.0/>)

### Please cite this article in press as:

Pon'kin E. I. Construction of a self-similar solution to the system of gas dynamics equations describing the outflow of polytropic gas into vacuum from an inclined wall in the inconsistent case, *Vestn. Samar. Gos. Tekhn. Univ., Ser. Fiz.-Mat. Nauki* [J. Samara State Tech. Univ., Ser. Phys. Math. Sci.], 2023, vol. 27, no. 2, pp. 336–356. EDN: EYOBZI. DOI: [10.14498/vsgtu1999](https://doi.org/10.14498/vsgtu1999) (In Russian).

### Author's Details:

*Eugeny I. Pon'kin*  <https://orcid.org/0000-0002-7848-3167>Postgraduate Student; e-mail: [epnk@rambler.ru](mailto:epnk@rambler.ru)

which results in development of strong discontinuity in the shock-free flow and formation of a shock wave.

**Keywords:** characteristic Cauchy problem of standard form, analog of the Kovalevskaya's theorem, inclined wall, transport equation.

Received: 9<sup>th</sup> February, 2023 / Revised: 18<sup>th</sup> May, 2023 /

Accepted: 25<sup>th</sup> May, 2023 / First online: 26<sup>th</sup> June, 2023

**Competing interests.** No competing interests.

**Author's Responsibilities.** I take full responsibility for submitting the final version of the manuscript for printing. The final version of the manuscript has been approved by me.

**Funding.** The research was conducted without funding.

**Acknowledgments.** The author expresses gratitude and appreciation to their academic supervisor, Professor S. P. Bautin, for their attention, assistance, and support.

## References

1. Bautin S. P. *Matematicheskoe modelirovanie sil'nogo szhatiia gaza* [Mathematical Modeling of Strong Gas Compression]. Novosibirsk, Nauka, 2007, 312 pp. (In Russian). EDN: QJSOSJ
2. Bautin S. P., Deryabin S. L. *Matematicheskoe modelirovanie istecheniia ideal'nogo gaza v vakuum* [Mathematical Modeling of Ideal Gas Flow into Vacuum]. Novosibirsk, Nauka, 2005, 390 pp. (In Russian). EDN: QJPIDD
3. Suchkov V. A. Flow into a vacuum along an oblique wall, *J. Appl. Math. Mech.*, 1963, vol. 27, no. 4, pp. 1132–1134. DOI: [https://doi.org/10.1016/0021-8928\(63\)90195-3](https://doi.org/10.1016/0021-8928(63)90195-3).
4. Bautin S. P., Pon'kin E. I. Self-similar solutions of the problem of polytropic gas flow along an oblique wall into vacuum, *J. Appl. Mech. Tech. Phys.*, 2021, vol. 62, no. 1, pp. 27–37. EDN: YQXWVA. DOI: <https://doi.org/10.1134/S0021894421010041>.
5. Pon'kin E. I. Mathematical description of two methods of gas-dynamic impact on the target using the Suchkov solution, *Vopr. Atomn. Nauki Tekhn. Ser. Matem. Model. Fiz. Prots.*, 2022, no. 2, pp. 27–39 (In Russian). EDN: YPTVJH. DOI: [https://doi.org/10.53403/24140171\\_2022\\_2\\_27](https://doi.org/10.53403/24140171_2022_2_27).
6. Pon'kin E. I. The characteristic Cauchy problem of standard form for describing the outflow of a polytropic gas into vacuum from an oblique wall, *Vestn. Samar. Gos. Tekhn. Univ., Ser. Fiz.-Mat. Nauki* [J. Samara State Tech. Univ., Ser. Phys. Math. Sci.], 2022, vol. 26, no. 2, pp. 322–338 (In Russian). EDN: QYHKRK. DOI: <https://doi.org/10.14498/vsgtu1922>.
7. Bautin S. P. *Kharakteristicheskaia zadachi Koshi i ee prilozheniia v gazovoi dinamike* [The Characteristic Cauchy Problem and its Applications in Gas Dynamics]. Novosibirsk, Nauka, 2009, 368 pp. (In Russian)